

41

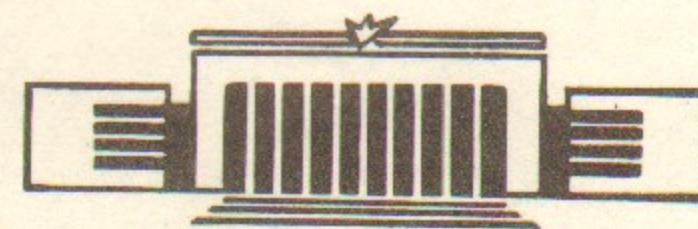


ИНСТИТУТ ЯДЕРНОЙ ФИЗИКИ СО АН СССР

Т.А.Всеволожская, Г.И.Сильвестров

КОНУСНЫЕ ЛИТИЕВЫЕ ЛИНЗЫ

ПРЕПРИНТ 85-67



НОВОСИБИРСК

## КОНУСНЫЕ ЛИТИЕВЫЕ ЛИНЗЫ

Т.А.Всеволожская, Г.И.Сильвестров

### А Н Н О Т А Ц И Я

Рассмотрены линзы, продольный профиль которых в отличие от цилиндрических линз приближен к профилю пучка частиц — линза с конусной боковой поверхностью и линза, образующая поверхности которой совпадает с огибающей пучка. При большом угле собирания частиц ( $\theta \geq 0.1$  рад) и длине линзы, сравнимой с фокусным расстоянием, это дает существенное (в 1.5–2 раза) уменьшение питающего тока. Получены аналитические выражения, определяющие параметры линз в зависимости от параметров пучка и требований к фокусировке. К качеству примера применения этих выражений и демонстрации получаемого выигрыша в токе и энерговыделении в линзе за счет активных потерь проведен расчет линз для собирания позитронов с энергией  $\sim 10$  МэВ в угле  $\theta \sim 0.6$  рад и антипротонов с  $pc=3.5$  ГэВ в угле  $\theta \sim 0.130$  рад. Приведена краткая оценка абберационного разброса углов в пучке за счет нелинейности радиального распределения поля, обусловленной конусной формой линзы.

Литиевые линзы /1,2/ являются наиболее эффективными оптическими системами для формирования пучков вторичных частиц в широком диапазоне параметров пучков — от позитронов с энергией в несколько МэВ и углом выхода  $\sim 1$  рад до антипротонов и

$\mu$ -мезонов с энергией, измеряемой десятками ГэВ /3–7/. Распространение области применения этих линз в сторону больших частот повторения ( $\sim 100$  Гц) или увеличения апертуры линзы ( $> \phi 2$  см) при сохранении высоких значений поля на поверхности осложняется необходимостью отвода большой средней мощности, выделяющейся как в самой линзе, так и в токоподводах к ней, а во втором случае — необходимостью коммутации больших токов и большими продольными усилиями в системе, пропорциональными при заданном поле квадрату радиуса линзы, или, иными словами, квадрату питающего тока. В этих условиях приобретает большое значение оптимизация параметров линзы с целью уменьшения необходимой величины тока. При большой угловой расходимости фокусируемых частиц и длине линзы, сравнимой с фокусным расстоянием, когда размер пучка заметно меняется в пределах линзы, такая оптимизация может быть достигнута за счет отказа от цилиндрической формы линзы и приближения ее продольного профиля к профилю пучка. Предельным вариантом такой линзы является линза с образующей боковой поверхности, совпадающей с огибающей пучка частиц.

При равенстве радиуса линзы радиусу огибающей пучка  $r_L = \sqrt{\epsilon \beta}$ , произведение параметра жесткости линзы  $k = e \frac{dH}{dr} / pc$  на  $\beta$ -функцию пучка имеет постоянное значение  $k\beta = const$  на всей длине линзы, определяемое величиной полного тока  $J$ , эммитансом пучка  $\epsilon$  и импульсом частиц  $p$  как  $k\beta = 60J(A)/\epsilon(cm)/pc(эВ)$ . Из уравнений, описывающих изменение  $\alpha$ ,  $\beta$  и  $\gamma$ -функций (элементов матрицы Твисса) пучка с расстоянием вдоль оси линзы,

$$\frac{d\alpha}{dz} = k\beta - \frac{1+\alpha^2}{\beta}, \quad \frac{d\beta}{dz} = -2\alpha \quad (1)$$

для определения огибающей получаем уравнение

$$\frac{d\beta}{dz} = \sqrt{A + \beta(B - 4k\beta \cdot \ln \beta)} \quad (2)$$

с произвольными постоянными А и В, определяемыми параметрами пучка на входе (выходе) линзы.

Фокусирующее действие собирающей линзы удобно характеризовать изменением  $\gamma$ -функции пучка  $\gamma = (1 + \alpha^2)/\beta$ , сохраняющей постоянное значение на участках без фокусировки, определяемое значением  $\beta$ -функции в кроссовере ( $\alpha = 0, \beta = \beta_{min}$ ) как  $\gamma = 1/\beta_{min}$ . Для изменения  $\gamma$ -функции пучка от значения  $\gamma_0$  до  $\gamma_1$  требуется линза с главным фокусным расстоянием  $F = 1/\sqrt{\gamma_0 \gamma_1}$ . Внутри линзы с  $k\beta = const$  изменение  $\gamma$ -функции связано с изменением  $\beta$  соотношением  $\gamma = \gamma_0 - k\beta \ln \frac{\beta}{\beta_0}$ , где  $\gamma_0$  - значение  $\gamma$  в исходном пучке, определяемое  $\beta$ -функцией эффективного источника частиц  $\beta_{0min}$ ,  $\beta_0$  - значение  $\beta$  на входе в линзу, зависящее от  $\gamma_0$  и расстояния  $z_0$  от эффективного источника до входа в линзу как  $\beta_0 = (1 + \gamma_0^2 z_0^2)/\gamma_0$ . Выход линзы естественно совместить с минимумом  $\gamma$ -функции (максимумом  $\beta$ ) в ней, имеющим место при  $\beta\gamma = 1$ . При этом необходимое значение  $k\beta$  определяется соотношением  $k\beta = \frac{\gamma_0 - \gamma_1}{\ln \chi_1}$ , где  $\chi_1$  обозначает отношение выходного значения  $\beta$ -функции  $\beta_1$  ко входному  $\beta_0$ , равное в рассматриваемом случае отношению выходного и входного сечений линзы  $\chi_1 = \frac{\beta_1}{\beta_0} = \frac{r_1^2}{r_0^2}$ .

В цилиндрической геометрии  $\gamma$  и  $\beta$  функции в линзе связаны соотношением  $\gamma = \gamma_0 - k(\beta - \beta_0)$  с постоянным значением  $k$ . Применяя условие минимума  $\gamma$  к выходным параметрам пучка,  $\gamma_1 \beta_1 = 1$ , значение  $k\beta_1$ , определяющее в этом случае ток через линзу, получаем равным  $k\beta_1 = \frac{\chi_1(\gamma_0 - \gamma_1)}{\chi_1 - 1}$ , где  $\chi_1$  по-прежнему обозначает  $\beta_1/\beta_0$ . Сравнивая это значение с полученным выше для линзы с  $k\beta = const$ , отношение токов для этих двух случаев при одинаковых  $\epsilon$ ,  $\gamma_0$ ,  $z_0$  и  $\gamma_1$  получаем равным

$$\frac{J_{(k\beta = const)}}{J_{(k = const)}} = \frac{\chi_1 - 1}{\chi_1 \ln \chi_1}$$

Как видим, оно полностью определяется отношением значений

$\beta$ -функций на входе и выходе линзы  $\chi_1$ .

Значение  $\beta_1/\beta_0$  не может быть выбрано как угодно большим. Помимо принципиального при заданных  $\gamma_0$  и  $\gamma_1$  ограничения величиной  $\gamma_0/\gamma_1$ , отвечающей случаю  $z_0 = 0$ , и возможных конструктивных ограничений минимального значения  $z_0$ ,

имеется ограничение, связанное с перегревом входного сечения линзы. Действительно, уменьшение тока с ростом  $\chi_1$ , происходит медленнее, чем уменьшение входного сечения линзы (при постоянном выходном), в результате чего плотность тока на нем  $j_0 = j_{цил} \cdot \frac{\chi_1 - 1}{\ln \chi_1}$  и температура  $T_0 \sim j_0^2$  возрастает. Перегрев входной части линзы уменьшает выигрыш в средней по объему линзы температуре  $\bar{T}$  от уменьшения полного тока и в пропорциональном  $\bar{T}$  давлении за счет нагрева /8/. Как показано в дальнейшем, минимальное значение отношения  $\bar{T}/T_{цил}$  составляет  $\sim 0.4$ , а при очень больших  $\chi_1$ ,  $\bar{T}$  становится даже большей  $T_{цил}$ .

Значение  $\bar{T}$  и полное количество тепла  $Q$  (в предположении близкого к однородному распределению плотности тока по радиусу во всей линзе), так же как и длина линзы и форма ее образующей  $r_A(z) = \sqrt{\epsilon \beta(z)}$  определяются из решения системы обыкновенных дифференциальных уравнений (1) вместе с уравнениями  $\frac{dQ}{dz} = \frac{\int j^2(z) dz}{\pi \epsilon \beta(z)}$  и  $\frac{dV}{dz} = \pi \epsilon \beta$ , легко разрешимой численно. Здесь  $\sigma$  - проводимость лития,  $V$  - объем линзы, отношение  $Q/V$  определяет среднюю температуру нагрева  $\bar{T}$ .

Приближенное аналитическое решение может быть получено для случая  $\beta_0 \gamma_0 \gg 1$  (размер пучка на входе в линзу много больше размера в эффективном источнике), что при конечном  $\chi_1$  означает  $\gamma_0/\gamma_1 \gg 1$ . Уравнение (2), которое с использованием параметров  $\gamma_0$ ,  $\beta_0$  и  $\beta_1 = 1/\gamma_1$ , приобретает вид

$$\frac{d\beta}{dz} = 2\sqrt{\beta} \left[ \gamma_0 - (\gamma_0 - \gamma_1) \frac{\ln \beta/\beta_0}{\ln \beta_1/\beta_0} \right] - 1$$

в этом случае упрощается к виду

$$\frac{d\beta}{dz} = 2\sqrt{\beta} \gamma_0 \left( 1 - \frac{\ln \beta/\beta_0}{\ln \beta_1/\beta_0} \right),$$

позволяющему выразить решение в известных функциях. В результате, уравнение образующей боковой поверхности линзы (огibaющей пучка) получаем в виде (см./5/)

$$Z - z = F \sqrt{\frac{\pi \ln \chi_1}{2}} \operatorname{erf} \sqrt{\frac{\ln \chi_1}{2}} \quad (3)$$

где  $Z$  - длина линзы,  $F = 1/\sqrt{\gamma_0 \gamma_1}$  - ее фокусное расстояние. Объем линзы равен

$$V = \pi \varepsilon \beta_1 F \sqrt{\frac{\pi \ln \chi_1}{6}} \operatorname{erf} \sqrt{\ln \frac{r_1^3}{r_0^3}}$$

полное количество тепла -

$$Q = \frac{\int_0^L j^2 dt}{\pi \varepsilon \beta_1 \sigma} F \sqrt{2 \ln \chi_1} \int_0^{\sqrt{\frac{\ln \chi_1}{2}}} e^{\xi^2} d\xi \quad (4)$$

и средняя температура  $\bar{T}$  в отношении к температуре нагрева цилиндрической линзы  $T_{\text{цил}}$  -

$$\frac{\bar{T}}{T_{\text{цил}}} = \frac{2(\chi_1 - 1)^2}{(\chi_1 \ln \chi_1)^2} \sqrt{\frac{3}{\pi}} \cdot \frac{\int_0^{\sqrt{\frac{\ln \chi_1}{2}}} e^{\xi^2} d\xi}{\operatorname{erf} \sqrt{\ln \chi_1^{3/2}}} \quad (5)$$

Анализ полученных выражений показывает, что существенное уменьшение отношения  $\bar{T}/T_{\text{цил}}$  с ростом  $\chi_1$  имеет место только в области  $1 \leq \chi_1 \leq 4$ . В дальнейшем значение этого отношения стремится к пологому минимуму  $(\bar{T}/T_{\text{цил}})_{\min} = 0.385$  при  $\ln \chi_1 \cong 5$ , а при  $\ln \chi_1 > 11$  становится большим единицы. С учетом конечного значения отношения  $\gamma_0/\gamma_1$  минимум  $\bar{T}/T_{\text{цил}}$  возрастает и смещается в сторону меньших значений  $\chi_1$ , однако в области  $\chi_1 \ll \gamma_0/\gamma_1$  зависимость  $\bar{T}/T_{\text{цил}}$  от  $\chi_1$  совпадает с (5).

Поскольку увеличение  $\chi_1$  сопровождается еще и быстрым ростом температуры на входе линзы, выбор рабочего значения разумно ограничить указанной выше областью  $\chi_1 \leq 4$ , что при  $\gamma_0/\gamma_1 \gg 1$  означает  $Z_0 \leq F/2$ . Это указывает на неоптимальность такой линзы для случаев, когда условия рассеяния в линзе и геометрия задачи позволяют приблизить входной торец линзы к эффективному источнику частиц вплоть до  $Z_0 = 0$  - случая четвертьволновой трансформации пучка в линзе, с тем, чтобы максимально увеличить длину линзы и уменьшить необходимое значение тока.

Большую свободу оптимизации в случае длинных линз ( $\beta_1/\beta_0 > 4$ ) дает конусная линза, т.е. линза с образующей

боковой поверхности  $r = r_0(1 + az)$ , где  $a$  - свободный параметр. Жесткость такой линзы уменьшается с расстоянием от входного торца как  $k(z) = k_0/(1 + az)^2$ . Производя замену независимой переменной  $z$  в (I) на  $u = 1 + az$ , уравнения, определяющие  $\alpha(z)$  и  $\beta(z)$ , получаем в виде:

$$\frac{d\alpha}{du} = \frac{1}{a} \left( \frac{k_0 \beta}{u^2} - \frac{1 + \alpha^2}{\beta} \right) \quad (6)$$

$$\frac{d\beta}{du} = -\frac{2\alpha}{a}$$

Исключив  $\beta$ -функцию посредством двукратного дифференцирования первого из уравнений, получаем дифференциальное уравнение третьего порядка для  $\alpha$ -функции:

$$\frac{d^3\alpha}{du^3} + \frac{3}{u} \frac{d^2\alpha}{du^2} + \frac{4k_0}{a^2 u^2} \frac{d\alpha}{du} = 0$$

Решение ищется в виде степенной функции  $\alpha = C u^v$ . Характеристическое уравнение для  $v$ ,  $v(v^2 + \frac{4k_0}{a^2} - 1) = 0$ , имеет три корня  $v_1 = 0$ ,  $v_{2,3} = \pm i\omega$ , где  $\omega = \sqrt{\frac{4k_0}{a^2} - 1}$ , т.е. решение имеет вид

$$\alpha = A \sin \omega \ln u + B \cos \omega \ln u + C_0$$

с постоянными  $A$ ,  $B$  и  $C_0$ , из которых только две являются произвольными, а третья определяется соотношением  $A^2 + B^2 = (1 + \omega^2)(C_0^2 - \frac{1}{\omega^2})$ . Для  $\beta$  и  $\gamma$ -функций получаем выражения

$$\beta = -\frac{2u}{a} \left\{ \frac{(A + \omega B) \sin \varphi - (\omega A - B) \cos \varphi}{1 + \omega^2} + C_0 \right\}$$

$$\gamma = -\frac{2k_0}{au} \left\{ \frac{(A - \omega B) \sin \varphi + (\omega A + B) \cos \varphi}{1 + \omega^2} + C_0 \right\},$$

где  $\varphi = \omega \ln u$ .

Постоянные  $A$ ,  $B$  и  $C_0$  выражаются через входные параметры пучка  $\alpha_0$ ,  $\beta_0$ ,  $\gamma_0$  как

$$A = \frac{k_0 \beta_0 - \gamma_0}{\omega a}, \quad B = \frac{k_0 \beta_0 + \gamma_0}{a \omega^2} + \alpha_0 \frac{1 + \omega^2}{\omega^2}, \quad C_0 = \alpha_0 - B$$

В пределе при  $a \rightarrow 0$  выражения для  $\alpha$ ,  $\beta$  и  $\gamma$  трансформируются к виду, соответствующему фокусировке с постоянным градиентом  $\kappa = \text{const}$ . Вводя обозначения  $\zeta = \text{arctg } w$ ,

$$\sin \zeta = \frac{B}{\sqrt{A^2+B^2}}, \quad \cos \zeta = \frac{A}{\sqrt{A^2+B^2}}, \quad \text{выражения для } \alpha, \beta \text{ и } \gamma \text{ получаем в более компактной форме}$$

$$\alpha = \sqrt{A^2+B^2} \cdot \sin(\varphi + \zeta) + C_0$$

$$\beta = -\frac{2u}{a} \left\{ \sqrt{\frac{A^2+B^2}{1+w^2}} \cdot \sin(\varphi + \zeta - \xi) + C_0 \right\} \quad (7)$$

$$\gamma = -\frac{2\kappa_0}{au} \left\{ \sqrt{\frac{A^2+B^2}{1+w^2}} \cdot \sin(\varphi + \zeta + \xi) + C_0 \right\}$$

Выходное значение  $\varphi_0$  аргумента  $\varphi$  определяется из условия  $\alpha = 0$ , а именно  $\sin(\varphi + \zeta) = -\frac{C_0}{\sqrt{A^2+B^2}}$ . Выходное значение  $\beta$  при этом выражается в виде

$$\beta_1 = \frac{2u_1 w}{a} \sqrt{\frac{A^2+B^2}{1+w^2}} \cdot \cos(\varphi_0 + \zeta - \xi), \quad (8)$$

выходное  $\gamma = \gamma_1$  равно  $1/\beta_1$ . Длина линзы находится как  $Z = (e^{\varphi_0/w} - 1)/a$ .

Поперечный размер линзы - начальное значение ее радиуса  $r_0$  - определяется условием касания огибающей пучка к образующей боковой поверхности линзы:

$$\beta \varepsilon = r_0^2 u^2 \quad (9)$$

$$\varepsilon \frac{d\beta}{du} = 2r_0^2 u$$

Для определения координаты точки касания из (9) получается уравнение  $\alpha u + a\beta = 0$ , откуда после подстановки  $\alpha$  и  $\beta$  из (7) и соответствующего преобразования тригонометрических функций получаем

$$\sin(\tilde{\varphi} + \zeta - 2\xi) = -\frac{C_0}{\sqrt{A^2+B^2}}, \quad \text{т.е.} \quad \sin(\tilde{\varphi} + \zeta - 2\xi) = \sin(\varphi_0 + \zeta)$$

Из двух возможных решений последнего уравнения

$$\tilde{\varphi}_1 + \zeta - 2\xi = 2n\pi + \varphi_0 + \zeta \quad \text{и} \quad \tilde{\varphi}_2 + \zeta - 2\xi = (2n+1)\pi - (\varphi_0 + \zeta)$$

( $n$  - некоторое целое число), отвечающих очевидным условиям

$\tilde{\varphi} \geq 0$  и  $\tilde{\varphi} \leq \varphi_0$  должно быть выбрано то, которое удовлетворяет условию касания изнутри  $\varepsilon \frac{d^2\beta}{du^2} < 2r_0^2$ . При  $\beta_1 > u_1 \beta_0$  этому условию удовлетворяет  $\tilde{\varphi}_2$ . Значение  $\tilde{\beta} = -\frac{2\tilde{u}w}{a} \sqrt{\frac{A^2+B^2}{1+w^2}} \cdot \cos(\tilde{\varphi} + \zeta - \xi)$ ,

при этом, оказывается связанным с  $\beta_1$  простым соотношением

$$\tilde{\beta} = \beta_1 \frac{\tilde{u}}{u_1}$$

Проанализируем сравнительные характеристики конусной и цилиндрической линз на примере линзы для четвертьволновой трансформации пучка, т.е. при  $Z_0 = 0$  ( $\alpha_0 = 0$ ). Решение в этом случае существенно упрощается. Уравнения для определения  $\tilde{\varphi}$  и  $\varphi_0$  приобретают вид

$$\sin(\tilde{\varphi} + \zeta - 2\xi) = \sin \zeta \quad \text{и} \quad \sin(\varphi_0 + \zeta) = \sin \zeta, \quad \text{что дает} \quad \tilde{\varphi} = 2\xi \quad \text{и} \quad \varphi_0 = 3\pi - 2\xi.$$

При этом выражения для  $\tilde{\beta}$  и  $\beta_1$  упрощаются к виду

$$\tilde{\beta} = \tilde{u} \frac{\kappa_0}{K_0} \quad \text{и} \quad \beta_1 = u_1 \frac{\kappa_0}{K_0}. \quad \text{Значение } \tilde{\beta}K, \text{ определяющее}$$

ток через линзу  $J = \tilde{\beta}K \frac{\varepsilon_{PC}}{\varepsilon_0}$  и входной радиус линзы

$$r_0^2 = \varepsilon \tilde{\beta}K / K_0, \quad \text{составляет } \tilde{\beta}K = \gamma_0 / \tilde{u}. \quad \text{При четверть-$$

волновой трансформации пучка в цилиндрической линзе параметр

$$\text{ее жесткости } K \text{ равен } \kappa = 1/F^2, \quad \text{т.е. } K = \gamma_0 \gamma_1,$$

и произведение  $\kappa \beta_1$ , определяющее ток в этом случае,

$$\text{составляет } \kappa \beta_1 = \gamma_0. \quad \text{Таким образом, выигрыш в токе в ко-$$

нусной линзе по сравнению с цилиндрической при одинаковых

значениях  $\beta$  - функции пучка на выходе составляет  $\tilde{u}$  раз.

Значение  $\tilde{u}$ , очевидно, ограничено условием  $\tilde{u} < u_1$ , - от-

ношения выходного и входного радиусов линзы,  $u_1 = r_1/r_0$ .

Удельная мощность энерговыделения  $w = j^2/b$  в конусной

линзе зависит от  $u$  как  $w = \text{const} \cdot \kappa_0^2 / u^4$  с  $\text{const} =$

$$\frac{1}{b} \left( \frac{\rho c}{\varepsilon_0 \kappa} \right)^2. \quad \text{Ее среднее по объему линзы значение } \overline{w(u)} =$$

$$J_0^4 \int_0^{u_1} w(u) u^2 du / \int_0^{u_1} u^2 du \quad \text{составляет } \overline{w} = \text{const} \cdot \frac{3(u_1-1)\kappa_0^2}{u_1(u_1^3-1)}.$$

В цилиндрической линзе с тем же  $\beta_1$  удельная мощность равна

$$w_{\text{цил}} = \text{const} \cdot \kappa^2, \quad \kappa = \frac{\kappa_0}{u_1}, \quad \text{так что отношение } \overline{w}/w_{\text{цил}}, \quad \text{определяющее}$$

и отношения средних температур и давлений за счет нагрева,

$$\text{составляет } \overline{w}/w_{\text{цил}} = \frac{3u_1(u_1-1)}{u_1^3-1}. \quad \text{Значения полных мощностей,}$$

$$\text{выделяющихся в линзах, относятся как } W/W_{\text{цил}} = \frac{(u_1-1)\sqrt{1+w^2}}{\pi u_1 \sqrt{u_1}}.$$

Температура нагрева на входе конусной линзы  $T_0$  в  $u_1^2$

раз превышает температуру нагрева цилиндрической линзы.

В качестве примера рассмотрим линзу для четвертьволновой трансформации пучка позитронов с энергией  $\sim 10$  МэВ. Радиус пучка в источнике примем равным 1 мм, угол выхода час-

тиц  $\theta \leq 0.6$  рад, т.е.  $\varepsilon = 6 \cdot 10^{-2}$  рад·см,  $\gamma_0 = 6 \text{ см}^{-1}$  при  $\alpha_0 = 0$ . Возьмем линзу с  $a = 1$ ,  $K_0 = 6$ , т.е.  $\omega = \sqrt{23}$ . Значения  $\tilde{\varphi}$  и  $\varphi_0$  получаем равными  $\tilde{\varphi} = 2.73$  и  $\varphi_0 = 3.71$ , откуда  $\tilde{u} = 1.77$  и  $u_1 = 2.17$ . Длина линзы составляет

$Z = 1.17$  см, входной радиус  $r_0 = 0.18$  см, полный ток при  $p_s = 10$  МэВ -  $I = 34$  кА, максимальное поле 37 кЭ. Выходное значение  $\beta$ -функции пучка составляет  $\beta_1 = 2.17$  см, т.е. в 13 раз больше  $\beta$ -функции в источнике. Выигрыш в токе по сравнению с цилиндрической линзой при том же значении  $\beta_1$  составляет 1.77 раза, однако, выигрыш в средней мощности энерговыделения, а значит и средней температуре нагрева в рабочей части линзы составляет всего  $\sim 1.2$  раза при  $\sim 1.4$  раза выигрыше в полной мощности. Кроме того, длина конусной линзы оказывается большей, чем цилиндрической  $Z_{\text{цил}} = 0.94$  см, что на 25% увеличивает средний квадрат угла рассеяния в литии. Такую добавку к общей сумме квадратов углов рассеяния в литии и выходном фланце, фазовых и абберационных углов, можно считать несущественной, тем не менее, удлинение линзы, тем большее, чем больше значение отношения выходного радиуса ко входному, можно считать одним из факторов, ограничивающих величину  $u_1$ .

Таким образом, конусная линза с разумным отношением выходного радиуса ко входному ( $u_1 \sim 2$ ) не дает заметного выигрыша в средней мощности энерговыделения в рабочей части линзы и пропорциональном ей давлении за счет нагрева, несмотря на существенный (в  $\sim 1.7$  раза) выигрыш в токе. Тем не менее, упрощение задачи коммутации тока и квадратичное отношению токов уменьшение энерговыделения в подводных частях системы составляют несомненное преимущество конусной линзы перед цилиндрической.

Второй пример применимости конусных линз - собирание антипротонов в системе конверсии антипротонных накопителей. Заметим, что четвертьволновая трансформация пучка в этом случае, как правило, не применима, поскольку ядерная мишень имеет большую длину - порядка длины ядерного поглощения, и эффективный источник частиц, находящийся вблизи ее центра /9/, оказывается далеко от входа в линзу, Исключение составляет мишень с сильным продольным током, таким, что на длине мишени укладывается около одной или более полувольтных свободных колебаний частиц в магнитном поле тока /9/. В

этом случае эффективный источник частиц смещается к концу мишени и может быть совмещен со входом в линзу. Рассчитаем для этого случая конусную линзу с выходным радиусом в 2 раза большим входного ( $u_1 = 2$ ) для параметров пучка и акцептанса накопителя антипротонов в CERNe /6/, т.е. энергии частиц  $p_s = 3.5$  ГэВ, акцептанса  $\varepsilon = 200$  мм·мрад, угла собирания  $\theta = 130$  мрад. ( $\gamma_0, \text{см}^{-1} = 0.845$ ) и углового разброса на выходе линзы  $\theta_1 = 10$  мрад ( $\gamma_1, \text{см}^{-1} = 5 \cdot 10^{-3}$ ). Цилиндрическая линза для такого преобразования  $\gamma$ -функции пучка при  $Z_0 = 0$  имеет длину 24 см, радиус апертуры 2 см и питается током 1 мА. Очевидно, что выигрыш в токе в этом случае является особенно ценным. В конусной линзе при заданных  $\gamma_0$  и  $\gamma_1$  входное значение параметра жесткости  $K_0$ , в  $u_1$  раз больше, чем  $K$  в цилиндрической, при  $u_1 = 2$  составляет

$K_0 = u_1 \gamma_0 \gamma_1 = 0.845 \cdot 10^{-3} \text{ см}^{-2}$ . Значение  $\omega$  находим из решения трансцендентного уравнения  $\text{tg} \frac{\omega \ln u_1}{2} + \omega \frac{\gamma_0^2 - K_0}{\gamma_0^2 + K_0} = 0$ , которое получается из соотношений  $\text{ctg} \zeta = A/B = \text{tg} \frac{\varphi_0}{2}$ ,  $\varphi_0 = \omega \ln u_1$ . Это дает  $\omega = 5.3$ . Константа образующей боковой поверхности  $a = \sqrt{\frac{4K_0}{1+\omega^2}}$  получается равной  $a = 3.41 \cdot 10^{-2}$ , т.е. длина линзы  $Z = 29$  см, на 5 см больше, чем у цилиндрической. Значение  $\tilde{\varphi} = 2\zeta = 2 \arcsin \frac{\omega}{\sqrt{1+\omega^2}}$  получается равным  $\tilde{\varphi} = \pi - 0.373$ , откуда  $\tilde{u} = 1.686$  и, таким образом, необходимое значение тока составляет  $I = I_{\text{цил}}/\tilde{u} = 0.6$  мА. Максимальное поле в линзе - на периметре входного торца, в  $\sqrt{\frac{u_1}{\tilde{u}}}$  раз больше, чем поле на поверхности цилиндрической линзы, составляет 109 кЭ. В таком же отношении увеличивается выходной радиус линзы по сравнению с радиусом цилиндрической и выходным радиусом пучка. Поле на выходе линзы в  $\sqrt{u_1 \tilde{u}}$  раз меньше, чем у цилиндрической.

При неравном нулю и достаточно большом расстоянии  $Z_0$  между эффективным источником и линзой, а именно  $Z_0 \geq F/2$  ( $\beta_1/\beta_0 \leq 4$ ), выгодно применять линзу с образующей боковой поверхности, совпадающей с огибающей пучка, т.е. линзу с  $K\beta = \text{const}$ . При собирании антипротонов с приведенными выше параметрами пучка ( $\varepsilon = 200$  мм·мрад,  $\gamma_0 = 0.845 \text{ см}^{-1}$ ,  $\beta_1 = 2$  м,  $p_s = 3.5$  ГэВ), условие  $\beta_1/\beta_0 = \chi_1 \leq 4$  выполняется при  $Z_0 \geq 7.6$  см. При  $Z_0 = 7.6$  см ( $\chi_1 = 4$ ,  $r_1/r_0 = 2$ ) выигрыш в токе по сравнению с цилиндрической линзой составляет 1.85 раза, т.е.

0.7 мА вместо 1.3 мА. Длина линзы при этом - 17.3 см - на ~ 3 см больше длины цилиндрической, равной 14.1 см. Температура нагрева входной части линзы в 4.5 раза выше температуры нагрева цилиндрической, однако, мощности энерговыделения в рабочей части линзы - средняя удельная  $\bar{w}$  и полная  $W$  - меньше, чем в цилиндрической в 1.56 и 1.75 раза, соответственно. При сравнении описанной линзы с цилиндрической той же длины 17.3 см, выигрыш в токе оказывается равным 1.6 раза, в средней удельной мощности  $\bar{w}$  - в 1.17 раза и в полной мощности  $W$  - в 1.6 раза.

При промежуточном между двумя рассмотренными выше значением  $z_0$ , т.е. при  $0 < z_0 < F/2$ , линза может быть выполнена в виде комбинации конусной и линзы с  $k\beta = const$ , сопряженных в точке касания огибающей пучка с образующей поверхности конусной линзы. Координата касания  $\tilde{u}$  (см. (9)) определяется из трансцендентного уравнения  $\tilde{y} - \gamma_1 = 2\bar{k}\beta \ln \frac{u_1}{u}$  в зависимости от отношения выходного и входного радиусов линзы  $u_1 = r_1/r_0$  и начальных параметров линзы и пучка.

В заключение остановимся кратко на точности формирования линейно-фокусирующего магнитного поля в конусной линзе. Вдали от краев линзы при близкой к однородной зависимости тока от времени ( $\delta \gg r_0$ ) плотность тока  $j(r, z)$  в случае конусной геометрии распределена однородно по сечению линзы сферической поверхностью радиуса  $R = \sqrt{r^2 + (z + 1/a)^2}$ , перпендикулярной к линиям тока, и составляет  $j(r, z) = J/S(r, z)$ , где  $S = 2\pi R^2(1 - \cos \bar{\theta})$  - площадь сечения,  $\bar{\theta} = \arctg ar_0$  - угол раствора боковой поверхности линзы. Поле в точке с координатами  $r, z$  определяется как  $H_\psi(r, z) = \frac{2j(r, z)}{cr} S'(r, z)$ , где  $S'(r, z) = 2\pi R^2(1 - \cos \theta')$  - площадь части сферического сечения, охваченной окружностью радиуса  $r$  в плоскости  $z = const$ ,  $\cos \theta' = (z + \frac{1}{a})/R$ . В результате получаем

$$H_\psi = \frac{2Jr}{cr^2} \cdot \frac{1 + a^2 r_0^2 + \sqrt{1 + a^2 r_0^2}}{(1 + az)^2 + a^2 r^2 + (1 + az)\sqrt{(1 + az)^2 + a^2 r^2}}$$

Количественную оценку нелинейности радиальной зависимости поля проведем, следуя [2]. Оптимальное значение  $\bar{G}$  градиента поля в плоскости  $z = const$  получаем равным

$$\bar{G} = \frac{4J \sqrt{1 + a^2 r_0^2} (\sqrt{1 + a^2 r_0^2} - 1)}{cr_0^2 a^2 (1 + az)^2} \approx \frac{2J}{cr_0^2 (1 + az)^2} \left(1 + \frac{a^2 r_0^2}{4} + \dots\right)$$

Средний квадрат отклонения радиальной зависимости поля от линейной с градиентом  $\bar{G}$

$$\overline{\Delta H^2} = \frac{2}{r_0^2 (1 + az)^2} \int_0^{r_0(1 + az)} [H(r, z) - r \bar{G}]^2 r dr$$

с точностью до первого члена в разложении по степеням  $a^2 r_0^2$  равен  $\overline{\Delta H^2} \approx \left[\frac{a^2 r_0^2}{8} H_0(z)\right]^2$ , где  $H_0(z)$  - поле на поверхности. Абберационные углы в пучке за счет такой неточности в топографии поля составляют  $\sqrt{\alpha_{ad}^2} \approx \frac{ar_0}{8} \epsilon \gamma \frac{\ln u_1}{u}$ . В рассмотренных выше примерах значения  $\sqrt{\alpha_{ad}^2}$  пренебрежимо малы по сравнению с угловым размером эмитанса пучка на выходе линзы  $\sqrt{\epsilon \gamma_1}$ . В линзе с образующей боковой поверхности, совпадающей с огибающей пучка, значение  $\frac{dr_A}{dz}$ , равное  $ar_0$  в случае конусной линзы, является переменным. Для верхней оценки абберационных углов можно использовать максимальное из значений  $dr_A/dz$  - значение на входе в линзу  $\left.\frac{dr_A}{dz}\right|_{z=0} = \gamma_0 z_0 \sqrt{\frac{\epsilon}{\beta_0}} \approx \sqrt{\epsilon \gamma_0}$ , что дает  $\sqrt{\alpha_{ad}^2} < \frac{1}{8} (\epsilon \gamma_0)^{3/2}$ .

## Л и т е р а т у р а

1. Баянов Б.Ф., Сильвестров Г.И. ЖТФ, т.48(1978), в.1, с.160.
2. Всеволожская Т.А., Любимова М.А., Сильвестров Г.И. ЖТФ, т.45 (1975), в.12, стр.2494.
3. Баянов Б.Ф., Будкер Г.И. и др. Труды X Международной конференции по ускорителям заряженных частиц высоких энергий. Протвино, июнь 1977, Серпухов 1977, т.П, стр.103.
4. Гаркуша В.Н. и др. Труды VI Всесоюзного совещания по ускорителям. Дубна II-13 окт., 1978 г., Дубна 1979, т.2, с.162.
5. Баянов Б.Ф., Всеволожская Т.А., Сильвестров Г.И. Там же, т.2, стр.171.
6. Design Study of an Antiproton Collector for Antiproton Accumulator (ACOL). CERN 83-10, PSD, 1983.
7. Dugan G. et al. IEEE Trans. Nucl. Sci., vol. NS-30, 4, 3660 (August 1983).
8. Баянов Б.Ф., Всеволожская Т.А., Сильвестров Г.И. Препринт ИЯФ 84-168, Новосибирск 1984.
9. Vsevolozhskaya T.A. NIM 190 (1984), 479-486.

Т.А.Всеволожская, Г.И.Сильвестров

КОНУСНЫЕ ЛИТИЕВЫЕ ЛИНЗЫ

Препринт  
№ 85-67

Работа поступила - 19 апреля 1985 г.

---

Ответственный за выпуск - С.Г.Попов  
Подписано к печати 19.05.85г. МН 06670  
Формат бумаги 60x90 1/16 Усл.1,1 печ.л., 1,0 учетно-изд.л.  
Тираж 290 экз. Бесплатно. Заказ №67

---

Ротапринт ИЯФ СО АН СССР, г.Новосибирск, 90